

14.4. Spin Resonanz: Spin im konstanten + dem transversalen zeitabhängigen Magnetfeld 61

Spin Resonanz Experimente: sehr wichtig, weit verbreitet, Anwendungen in Physik, Chemie, Medizin etc.
(sowohl Elektronen- wie auch Kernspin)

- mindestens dasselbe Setup: i) zeitlich konstantes, räumlich homogenes Magnetfeld $\parallel \hat{z}$
ii) harmonisches, magnetisches Wechselfeld in xy-Ebene

Führt zu Umbiegung / Rotations Phänomenen des e-/p Spins

$$\vec{B} = \vec{B}_0 + \vec{B}^S(t) \quad \text{mit} \quad (14.77)$$

$$\vec{B}_0 = \begin{pmatrix} 0 \\ 0 \\ B_z \end{pmatrix} \quad \vec{B}^S(t) = (B_x^S(t), B_y^S(t), 0) \quad (14.78, 79)$$

Wechselfeld; können nicht erwarten, dass Spin immer nach oben/unten zeigt \rightarrow
Zeitabhängige Übergänge, zeitabhängige Schrödinger-Gleichung: allgemein auf:

$$|S\rangle = C_1(t)|\uparrow\rangle + C_2(t)|\downarrow\rangle = \begin{pmatrix} C_1(t) \\ C_2(t) \end{pmatrix} \quad (14.80)$$

Selbe in zeitabh. Schrödinger \rightarrow

$$M_B \begin{pmatrix} B_z & B_x^S - iB_y^S \\ B_x^S + iB_y^S & -B_z \end{pmatrix} \begin{pmatrix} C_1 \\ C_2 \end{pmatrix} = i\hbar \begin{pmatrix} \dot{C}_1 \\ \dot{C}_2 \end{pmatrix} \quad (14.81)$$

$$\text{ausmultipliziert: } (\frac{1}{2}\hbar\omega_0)C_1 + M_B(B_x^S - iB_y^S)C_2 = i\hbar\dot{C}_1 \quad (14.82)$$

$$M_B(B_x^S + iB_y^S)C_1 - \frac{1}{2}\hbar\omega_0C_2 = i\hbar\dot{C}_2 \quad (14.83)$$

mit der Definition

$$\hbar\omega_0 = 2\mu_B B_z \quad (14.84)$$

nehmen an

$$\begin{aligned} B_x^S &= F \cos(\omega t) \\ B_y^S &= F \sin(\omega t) \end{aligned} \quad (14.85)$$

$$\text{in (82),(83) einsetzen, verwenden } B_x^S \pm iB_y^S = F(\cos(\omega t) \pm i\sin(\omega t)) = Fe^{\pm i\omega t} \quad (14.86)$$

$$\Rightarrow (\hbar\omega_0/2)C_1 + M_B F e^{-i\omega t} C_2 = i\hbar\dot{C}_1 \quad (14.87)$$

$$M_B F e^{i\omega t} C_1 - (\hbar\omega_0/2) C_2 = i\hbar\dot{C}_2 \quad (14.88)$$

$$\text{Ausatz: } \left. \begin{aligned} c_1(t) &= d_1(t) e^{-i\omega_0 t/2} \\ c_2(t) &= d_2(t) e^{+i\omega_0 t/2} \end{aligned} \right\} \quad (14.89)$$

$$\rightarrow i\hbar \dot{c}_1 = (\hbar\omega_0/2)c_1 + i\hbar \dot{d}_1 e^{-i\omega_0 t/2}, \text{ analog } c_2 \quad (14.90)$$

einsetzen in (87, 88), $(\hbar\omega_0/2)c_i$ hebt sich auf, analog $c_2 \Rightarrow$

$$\mu_B F e^{-i(\omega-\omega_0)t} d_2 = i\hbar \dot{d}_1 \quad (14.91)$$

$$\mu_B F e^{i(\omega-\omega_0)t} d_1 = i\hbar \dot{d}_2 \quad (14.92)$$

zur Vereinfachung wählen wir $\omega = \omega_0$ (Resonanzbedingung) \Rightarrow (14.93)

$$\mu_B F d_2 = i\hbar \dot{d}_1 \quad (14.94)$$

$$\mu_B F d_1 = i\hbar \dot{d}_2 \quad (14.95)$$

$$\text{leide (94) ab} \rightarrow \mu_B F \ddot{d}_2 = i\hbar \ddot{d}_1, \text{ einsetzen (95)} \quad (14.96)$$

$$\Rightarrow \ddot{d}_1 + \frac{\mu_B^2 F^2}{\hbar^2} d_1 = 0 \quad \text{integrationskonstanten: Anfangsbed.} \quad (14.97)$$

$$\text{definition } \mathcal{R} = \frac{\mu_B F}{\hbar} \Rightarrow d_1 = a \sin(\mathcal{R}t + \phi) \quad \text{mit (94)} \Rightarrow \quad (14.98)$$

$$\text{"Rabi Frequency"} \quad d_2 = i a \cos(\mathcal{R}t + \phi) \quad (14.99)$$

$$\text{Anfangsbed. } d_1(0) = 0 \Rightarrow \phi = 0$$

$$\text{Normierung} \Rightarrow a = 1 \quad (|d_1|^2 + |d_2|^2 = a^2 \underbrace{\{\sin^2(\mathcal{R}t) + \cos^2(\mathcal{R}t)\}}_{=1} = 1)$$

$$\Rightarrow |S\rangle = \underbrace{\sin(\mathcal{R}t) e^{-i\omega_0 t/2}}_{\alpha} |\uparrow\rangle + \underbrace{i \cos(\mathcal{R}t) e^{+i\omega_0 t/2}}_{\beta} |\downarrow\rangle \quad (14.100)$$

d.h. Zustandsbeschreibung oszilliert zwischen $|\uparrow\rangle$ und $|\downarrow\rangle$. Auch erreichlich aus Erwartungswerten der Spin Operatoren $\langle \hat{S}_x \rangle, \langle \hat{S}_y \rangle, \langle \hat{S}_z \rangle$: vgl. mit (14.49) bzw. 14.53

$$\begin{aligned} \langle \hat{S}_z \rangle &= \frac{\hbar}{2} (1 - |\beta|^2) \\ &= \frac{\hbar}{2} [\sin^2(\mathcal{R}t) - \cos^2(\mathcal{R}t)] = -\frac{\hbar}{2} \cos(2\mathcal{R}t) \end{aligned} \quad (14.102)$$

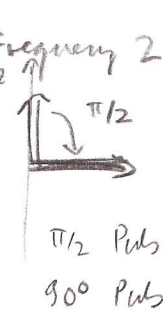
d.h. z -Komponente oszilliert mit Frequency $2\mathcal{R}$ \rightarrow Rabi-Oszillationen

$$t=0: \langle \hat{S}_z \rangle = -\frac{\hbar}{2}$$

$$t=\frac{\pi}{4\mathcal{R}}: \langle \hat{S}_z \rangle = 0$$

$$t=\frac{\pi}{2\mathcal{R}}: \langle \hat{S}_z \rangle = \frac{\hbar}{2}$$

$$t=\frac{3\pi}{4\mathcal{R}}: \langle \hat{S}_z \rangle = 0 \quad \text{etc.}$$



(14.105 - 14.111)

π -Puls \rightarrow schwankendes B-Feld eingeschaltet für Zeit $t < \frac{\pi}{2\mathcal{R}}$

weiter gilt:

$$\langle \hat{\sigma}_x \rangle = -\frac{t}{2} \sin(2\omega t) \sin(\omega_0 t) \quad (14.103)$$

$$\langle \hat{\sigma}_y \rangle = \frac{t}{2} \sin(2\omega t) \cos(\omega_0 t) \quad (14.104)$$

d.h. in x-y Ebene, einerseits schnelle Kreisbewegung mit Frequency ω_0 , andererseits Modulation mit $\sin(2\omega t)$, d.h. 90° Phasenverschieben mit z-Komponente, i.e. xy Komponenten maximal genau wenn z-Komponente 0 und umgekehrt.

Der Vektor $\langle \vec{\sigma} \rangle = \begin{pmatrix} \langle \hat{\sigma}_x \rangle \\ \langle \hat{\sigma}_y \rangle \\ \langle \hat{\sigma}_z \rangle \end{pmatrix}$ rotiert/präzidiert um z-Achse mit ω_0 und oszilliert

simultan von +z zu -z und zurück mit 2ω .

Spin Frequency B-Frequency

Resonanz weil $\omega_0 = \omega$

Dies ist das Grundprinzip von Spinresonanz: durch anlegen eines harmonischen, zeitabhängigen B-Feldes transversal zu einem statischen B-Feld im Resonanz $\omega_0 > \omega$ kann man den Spins kontrolliert rotieren/manipulieren.

Experimente / Praxis: B-Feld oszilliert entlang fixer Achse (x oder y oder x-y-oder...) und rotiert nicht. Kann man auf den rotierenden Fall zurückführen: B oszilliert entlang fixer Achse = Überlagerung von zwei in entgegengesetzten Richtungen rotierenden B-Feldern, eins läuft mit Spin mit, das andere umläuft mit doppelter Frequenz (von Ruhesystem des Spins aus gesehen) \rightarrow analoge Gleichungen wie hier, aber mit variablen oszillierenden Zusatztermen (vom doppelt so schnell aber entgegengesetzt rotierenden B-Feld), den man in guter Näherung vernachlässigen kann! „rotating wave approximation“